

การศึกษาเพื่อใช้สارประกอบไฟล์ไทยออลแลด2- เอกลเอกสารชีลอะครีเลต์รวมกับ  
เครื่องอนเตตราคลอไรต์เป็นสารไวปฏิกิริยาสำหรับการวัลแคนในช์  
น้ำยากรธรรมชาติตัวยรังสี

นายชาติชาย นรสุขพิริ



# ศูนย์วิทยทรัพยากร จุฬาลงกรณ์มหาวิทยาลัย

วิทยานิพนธ์นี้ เป็นส่วนหนึ่งของการศึกษาตามหลักสูตรปริญญาวิศวกรรมศาสตรมหาบัณฑิต  
ภาควิชานิวเคลียร์ เทคโนโลยี

บัณฑิตวิทยาลัย จุฬาลงกรณ์มหาวิทยาลัย

พ.ศ. 2532

ISBN 974-569-766-4

ลิขสิทธิ์บัณฑิตวิทยาลัย จุฬาลงกรณ์มหาวิทยาลัย

015287

工 ๑๗๘๙๙๐๖๓

A STUDY OF USING POLYTHIOL COMPOUNDS AND 2-ETHYL HEXYL ACRYLATE  
WITH CARBON TETRACHLORIDE AS SENSITIZERS FOR RADIATION  
VULCANIZATION OF NATURAL RUBBER LATEX

Mr. Chartchai Polsuksiri

A Thesis Submitted in Partial Fulfillment of the Requirements  
for the Degree of Master of Engineering  
Department of Nuclear Technology  
Graduate School  
Chulalongkorn University  
1989  
ISBN 974-569-766-4

หัวข้อวิทยานิพนธ์ การศึกษาเพื่อใช้สารประกอบโนลล์ไกอลและ 2-เอทิล เอกซิล อะครีเลตร่วมกับคาร์บอนเตตราคลอไรต์เป็นสารไวปฏิกิริยาสำนับการวัลแคนในชั้นน้ำยาของธรรมชาติตัวรังสี

โดย นายชาติชาย พรสุขพิริ

ภาควิชา ภาควิชาเคมีเคลือร์เทคโนโลยี

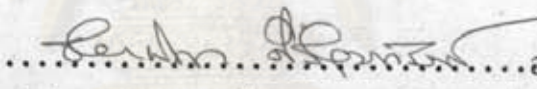
อาจารย์ ผู้ช่วยศาสตราจารย์ ชยากฤต พิริอุปถัมภ์

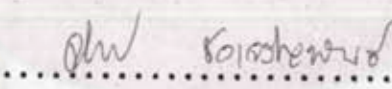
นักเต็ตวิทยาลัย จุฬาลงกรณ์มหาวิทยาลัย อนุมัติให้นับวิทยานิพนธ์นี้เป็นส่วนหนึ่งของการศึกษา ตามหลักสูตรปริญญามหาบัณฑิต

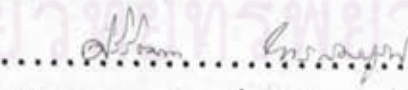
..... คณบดีนักเต็ตวิทยาลัย  
(ศาสตราจารย์ ดร. ถาวร วัชราภัย)

คณะกรรมการสอบวิทยานิพนธ์

..... ประธานกรรมการ  
(รองศาสตราจารย์ ดร. อัชชัย ลุมิตร)

..... อาจารย์ที่ปรึกษา  
(ผู้ช่วยศาสตราจารย์ ชยากฤต พิริอุปถัมภ์)

..... กรรมการ  
(นาง จันดาวรรณ์ ชาเจริญพันธ์)

..... กรรมการ  
(ผู้ช่วยศาสตราจารย์ ศิริวัฒนา ไทรสมบูรณ์)



พิมพ์ด้านฉบับทัศน์อวิภานิพนธ์ภายนอกในกรอบสีเขียวเพียงแผ่นเดียว

ชาดิชา พรสุบศิริ : การศึกษาเพื่อใช้สารปะกอนโพลีไทรอลและ 2-เอทิลเอกซิโลอะครีเลต

ร่วมกับสารบอนเตตราคลอไรด์ เป็นสารไวป์กิริยาสำหรับการ vulcanization ในชั้นยางธรรมชาติตัวยรังสี

(A STUDY OF USING POLYTHIOL COMPOUNDS AND 2-ETHYL HEXYL ACRYLATE  
WITH CARBON TETRACHLORIDE AS SENSITIZERS FOR RADIATION VULCANIZATION  
OF NATURAL RUBBER LATEX) อ.ที่ปรึกษา : พศ.ชยากิริศ ศิริอุปถัมภ์ 126 หน้า.

ได้ทดลองใช้สารปะกอนโพลีไทรอล 3 ชนิดเป็นสารไวป์กิริยาสำหรับการ vulcanization ในชั้นยางธรรมชาติตัวยรังสี พนบ. 1.4 มิวแทนไดโอดอลไประเพน ทริส-3-เมอร์แคพติไประไฟไອเนต มีแนวโน้มเป็นสารไวป์กิริยาได้ ให้ค่าความต้านแรงดึงของแผ่นยางสูงสุดประมาณ 14 MPa ที่ความเข้มข้น 1 phr และปริมาณรังสี 45 kGy สำหรับการทดลองใช้ 2-เอทิลเอกซิโลอะครีเลต เป็นสารไวป์กิริยาพบว่าความเข้มข้นขนาด 3 phr จะให้ค่าความต้านแรงดึงของแผ่นยางสูงสุดประมาณ 23 MPa ที่ 35 kGy ถ้าใช้สารไวป์กิริยานี้ร่วมกับสารบอนเตตราคลอไรด์ในอัตราส่วน 5 : 1 ที่ความเข้มข้น 6 phr จะให้ค่าความต้านทานแรงดึงของแผ่นยางสูงสุดประมาณ 25 MPa ที่ 15 kGy จากการศึกษายังพบว่าสำหรับการ vulcanization ในชั้นยางธรรมชาติตัวยรังสีโดยใช้สารไวป์กิริยาร่วมด้วยนี้ที่ค่าความต้านทานแรงดึงสูงสุดจะมีค่าความหนาแน่นการครองสิ่งค่าประมาณ  $18 \times 10^{18}$  C.L./cm<sup>3</sup>

## ศูนย์วิทยทรัพยากร จุฬาลงกรณ์มหาวิทยาลัย

ภาควิชา นาโนเทคโนโลยี  
สาขาวิชา นาโนเทคโนโลยี  
ปีการศึกษา 2532

ดำเนินชื่อนิสิต ร.ว.วิราบ พระรุษณร  
ดำเนินชื่ออาจารย์ที่ปรึกษา ดร.สุรัตน์ ดีบุญรักษา

พิมพ์ต้นฉบับนบทคัดข่าวที่วิทยานิพนธ์ภายในกรอบสีเขียวนี้เพียงแผ่นเดียว

CHARTCHAI POLSUKSIRI : A STUDY OF USING POLYTHIOL COMPOUNDS AND  
2-ETHYL HEXYL ACRYLATE WITH CARBON TETRACHLORIDE AS SENSITIZERS  
FOR RADIATION VULCANIZATION OF NATURAL RUBBER LATEX. THESIS ADVISOR:  
ASST. PROF. CHYAGRIT SIRI-UPATHUM, 126 PP.

Experiments on using 3 different compounds of polythiol and an acrylate as sensitizer for radiation vulcanization were conducted. It was found that 1,4 butane diol propane tris-3-mercaptopropionate showed the tendency to be a good sensitizer. The tensile strength of the rubber film prepared from the irradiated latex was found to be 14 MPa at sensitizer concentration of 1 phr and radiation dose of 45 kGy. As for 2-ethyl hexyl acrylate(2EHA), the maximum tensile strength of rubber film was found to be 23 MPa at concentration of 3 phr and radiation dose of 35 kGy. The mixture of 2EHA and  $CCl_4$  at various ratio was also used as sensitizer. The optimum ratio was found to be 5:1 at concentration of 6 phr and radiation dose of 15 kGy. The maximum tensile strength was as high as 25 MPa. The study also revealed that the radiation vulcanized latex with crosslink density of about  $18 \times 10^{18}$  C.L./cm<sup>3</sup> would give the rubber film of highest tensile strength.

ศูนย์วิทยทรัพยากร  
จุฬาลงกรณ์มหาวิทยาลัย

ภาควิชา ..... นิเวศวิทยาเทคโนโลยี .....  
สาขาวิชา ..... นิเวศวิทยาเทคโนโลยี .....  
ปีการศึกษา ..2532.....

ลายมือชื่อนักศึกษา .. 6 ตุลาคม ..... พ.ศ. 2532 .....  
ลายมือชื่ออาจารย์ที่ปรึกษา .. 

กิจกรรมประจำภาค

ขอขอบพระคุณ รองศาสตราจารย์ ดร. ชัชชัย สุมิตร หัวหน้าภาควิชา นิวเคลียร์เทคโนโลยี ที่ได้กรุณาให้ความสนใจและสนับสนุนงานวิจัยเรื่องนี้ ขอพระคุณผู้ช่วยศาสตราจารย์ชากิริศ ศิริอุปถัมภ์ และอาจารย์ ภาควิชานิวเคลียร์เทคโนโลยีทุกท่านที่ได้กรุณาให้คำปรึกษา แนะนำ แก้ปัญหาในการทำวิทยานิพนธ์ ขอขอบพระคุณ รองศาสตราจารย์ ดร. กฤษฎา สุชีวะ แห่งภาควิชา เคมี มหาวิทยาลัยมหิดล ที่ได้กรุณา ให้คำปรึกษา แนะนำ แก้ปัญหาในการทำวิทยานิพนธ์ และ ให้ความอนุเคราะห์ใช้เครื่องทดลองแรงดึง ขอขอบพระคุณ คุณจินดารัมย์ ชาเจริญพันธ์ แห่งสำนักงานผลิตภัณฑ์เพื่อสันติที่กรุณาอนุเคราะห์และ แนะนำการนำเสนองานวิจัย ขอขอบพระคุณ กรมวิทยาศาสตร์บริการที่ให้ความอนุเคราะห์ใช้เครื่องตัดซีนยาง ลุดท้ายนี้ขอขอบพระคุณบัณฑิตวิทยาลัย ที่ให้ทุนอุดหนุนการวิจัยในครั้งนี้

ศูนย์วิทยทรัพยากร  
จุฬาลงกรณ์มหาวิทยาลัย

## สารบัญ

	หน้า
บทคัดย่อภาษาไทย	๕
บทคัดย่อภาษาอังกฤษ	๖
กิติกรรมประกาศ	๗
สารบัญตาราง	๘
สารบัญภาพ	๙
บทที่	
1 บทนำ.....	1
1.1 ความเป็นมาของปัจจุบัน.....	1
1.2 วัตถุประสงค์ของการวิจัย.....	2
1.3 ขอบเขตของการวิจัย.....	2
1.4 ประโยชน์ที่คาดว่าจะได้รับจากการวิจัยนี้.....	3
2 พฤษภูมิเกี่ยวกับเคมีรังสี.....	4
2.1 เรื่องทั่วไปเกี่ยวกับรังสี.....	4
2.1.1 ชนิดของรังสีและแหล่งกำเนิดรังสี.....	4
2.1.2 กลไกการถ่ายทอดงานของรังสีแต่ละประเภท.....	5
2.1.3 หน่วยของรังสีและปริมาณรังสี.....	6
2.1.4 การวัดปริมาณรังสี.....	7
2.2 ผลของรังสีต่อโมเลกุล.....	8
2.2.1 โมเลกุลในสภาวะเร้า.....	10
2.2.2 ไอโอดีฟลูออไรด์.....	11
2.3 ผลผลิตทางเคมีจากรังสี.....	14
2.3.1 ไอโอดีฟลูออไรด์.....	14
2.3.2 ค่า G.....	14
2.4 ผลของรังสีต่อ Monomer และปฏิกิริยา Polymerization.....	15

## สารบัญ(ต่อ)

หน้า

2.4.1 กลไกแบบ Free Radical.....	16
2.5 ผลของรังสีต่อ Polymer ที่เกิดจาก crosslink.....	18
3 ทฤษฎีเกี่ยวกับเคมีของน้ำยาหง蓉ชาติ.....	22
3.1 เรื่องทั่วไปเกี่ยวกับน้ำยา Latex.....	22
3.1.1 การผลิตยางเข้มข้นและวิธีการเก็บรักษาน้ำยาหง蓉.....	22
3.1.2 ชนิดน้ำยา Latex เข้มข้นตามลักษณะของลาร์รักษาสภาพน้ำยาหง蓉.....	26
3.1.3 มาตรฐานน้ำยาหง蓉ขั้นต่าง ๆ .....	27
3.1.4 คุณสมบัติของ Latex ที่สำคัญและการปรับปรุงค่า.....	28
3.2 การวัลแคนในชีวะหง蓉ชาติ.....	31
3.2.1 ความเป็นมาของการวัลแคนในชีวะ.....	31
3.2.2 ค่าความหนาแน่นของการครอบคลุมสิ่งคู่.....	31
3.2.3 ความสัมพันธ์ระหว่างคุณสมบัติทางกายภาพของยางวัลแคนกับองค์ประกอบสิ่งคู่.....	32
3.2.4 ผลของโครงสร้างของครอบคลุมสิ่งคู่ต่อคุณสมบัติทางกายภาพของยางวัลแคนในชีวะ.....	32
3.2.5 การวัลแคนในชีวะโดยชัลเฟอร์.....	35
3.2.6 การวัลแคนในชีวะโดยรังสีที่ปราศจากสารไวป์ภูมิบริษัท.....	38
3.2.7 การวัลแคนในชีวะโดยรังสีที่มีสารไวป์ภูมิบริษัทเข้า搀ม.....	39
4 วัสดุอุปกรณ์และการดำเนินการวิจัย.....	41
4.1 วัสดุอุปกรณ์ประเภทสารเคมี.....	41
4.2 อุปกรณ์เครื่องมือ.....	41
4.3 การดำเนินการวิจัย.....	49
4.4 การดำเนินการวิจัยขั้นปรับปรุงคุณภาพ.....	57
5 ผลการวิจัย.....	58

## สารบัญ(ต่อ)

หน้า

5.1	ผลการทดลองการใช้สารไวป์กิริยาชนิดต่าง ๆ ตามสูตรในบทที่ 4 .....	58
	5.1.1 ผลของ Polythiol I ต่อการ Vulcanization.....	58
	5.1.2 ผลของ Polythiol II ต่อการ Vulcanization.....	58
	5.1.3 ผลของ Polythiol III ต่อการ Vulcanization...58	58
	5.1.4 ผลของ $CCl_4$ ต่อการเกิด Vulcanization.....	58
	5.1.5 ผลของ การใช้สารไวป์กิริยาร่วมระหว่าง $CCl_4$ กับ Polythiol I.....	59
	5.1.6 ผลของ การใช้สารไวป์กิริยาร่วมระหว่าง $CCl_4$ กับ Polythiol II.....	59
	5.1.7 ผลของ การใช้สารไวป์กิริยาร่วมระหว่าง $CCl_4$ กับ Polythiol III.....	59
	5.1.8 ผลของ การใช้สารไวป์กิริยา 2EHA และสารไวป์กิริยาร่วมของ 2EHA และ $CCl_4$ .....	59
5.2	ผลของตัวออกซิไดซ์ต่อการวัลแคนไนซ์.....	60
	5.2.1 ผลของ $H_2O_2$ ต่อการเป็นสารไวป์กิริยา ของ Polythiol I.....	60
	5.2.2 ผลของ $H_2O_2$ ต่อการเป็นสารไวป์กิริยา ของ Polythiol II.....	60
	5.2.3 ผลของ $H_2O_2$ ต่อการเป็นสารไวป์กิริยา ของ Polythiol III.....	60
	5.2.4 ผลของ $H_2O_2$ ต่อการเป็นสารไวป์กิริยา ของ $CCl_4$ .....	60
	5.2.5 ผลของ $H_2O_2$ ต่อการเป็นสารไวป์กิริยา ของ 2EHA: $CCl_4$ .....	60
5.3	ผลการปรับคุณภาพโดยการชัลลอลายที่เชื่อมไข่ต่าง ๆ .....	60
	5.3.1 ผลของ การชัลลอลายด้วยสารลอลายแอมโมเนีย 2%.....	60

สารบัญ(ต่อ)

หน้า

5.3.2 ผลการซีลละลายน้ำอุณหภูมิ $60^{\circ}\text{C}$ ที่เวลาต่าง ๆ .....	61
5.4 ผลการทดสอบค่าทางเคมีสำหรับค่า $T_b$ , SWELLING , CROSSLINK DENSITY.....	62
6 สรุปผลการวิจัย และข้อเสนอแนะ.....	103
6.1 สรุปผลการวิจัย.....	103
6.2 วิจารณ์ผลการทดลอง.....	105
6.2 ข้อเสนอแนะ.....	110
เอกสารอ้างอิง.....	111
ภาคผนวก ก. ตารางแสดงผลการทดลองอย่างละเอียด.....	115
ประวัติผู้เขียน.....	126

ศูนย์วิทยทรัพยากร  
จุฬาลงกรณ์มหาวิทยาลัย

สารบัญตาราง

ตารางที่	หน้า
2.1 ค่าไอโอดีนชั้นของชาตุและสารประกอบบางตัว.....	12
2.2 ค่า G ต่าง ๆ ของน้ำและไอน้ำ.....	15
2.3 กลุ่มโพลิเมอร์ที่มีโอกาสเกิดการ Degradation และ Crosslinking.....	20
3.1 ผลของ FATTY ACID SOAPS ต่อค่า MST.....	29
3.2 ผลของ Latex Compound ที่ 28-30 °.....	29
5.1 แสดงการซัลฟอยล์ที่เวลาต่างๆ ในสารละลาย ammonia 2 %.....	60
5.2 แสดงการซัลฟอยล์ที่เวลาต่างๆ น้ำอุ่นภูมิ 60 ° C.....	60
5.3 แสดงการซัลฟอยล์ที่เวลาต่างๆ ในสารละลาย ammonia 2 % นาน 24 ชั่วโมง.....	60
5.4 แสดงการซัลฟอยล์ที่เวลาต่างๆ น้ำอุ่นภูมิ 60 ° C นาน 5 นาที.....	60
ก.1 แสดงค่าเวลา กับปริมาณรังสีที่มีสารไวปฏิกิริยา ความเข้มข้น ขนาดต่าง ๆ .....	116
ก.2 แสดงผลของเจล กับปริมาณรังสีที่มีสารไวปฏิกิริยา 2EHA.....	117
ก.3 แสดงผลของปริมาณรังสีต่อ Tb, M.O.600%, Eb, SWELLING, CROSSLINK DENSITY ของสารไวปฏิกิริยา Polythiol I.....	118
ก.4 แสดงผลของปริมาณรังสีต่อ Tb, M.O.600%, Eb, SWELLING, CROSSLINK DENSITY ของสารไวปฏิกิริยา Polythiol II.....	118
ก.5 แสดงผลของปริมาณรังสีต่อ Tb, M.O.600%, Eb, SWELLING, CROSSLINK DENSITY ของสารไวปฏิกิริยา Polythiol III ขนาด 1phr.....	118
ก.6 แสดงผลของปริมาณรังสีต่อ Tb, M.O.600%, Eb, SWELLING, CROSSLINK DENSITY ของสารไวปฏิกิริยา Polythiol III ขนาด 3 phr.....	118
ก.7 แสดงผลของปริมาณรังสีต่อ Tb, M.O.600%, Eb, SWELLING, CROSSLINK DENSITY ของสารไวปฏิกิริยา CC1 <sub>4</sub> ขนาด 5 phr....	119
ก.8 แสดงผลของปริมาณรังสีต่อ Tb, M.O.600%, Eb, SWELLING, CROSSLINK DENSITY ของสารไวปฏิกิริยา CC1 <sub>4</sub> ขนาด 3 phr....	119
ก.9 แสดงผลของปริมาณรังสีต่อ Tb, M.O.600%, Eb, SWELLING, CROSSLINK DENSITY ของสารไวปฏิกิริยา CC1 <sub>4</sub> ขนาด 1 phr....	119

สารบัญตาราง(ต่อ)

ตารางที่

หน้า

ก.10 แสดงผลของปริมาณรังสีต่อ Tb, M.O.600%, Eb, SWELLING, CROSSLINK DENSITY ของสารไวป์กิริยา CC1 <sub>4</sub> และ Polythiol I.....	119
ก.11 แสดงผลของปริมาณรังสีต่อ Tb,M.O.600%,Eb,SWELLING,CROSSLINK DENSITY ของสารไวป์กิริยา CC1 <sub>4</sub> และ Polythiol II.....	120
ก.12 แสดงผลของปริมาณรังสีต่อ Tb,M.O.600%,Eb,SWELLING,CROSSLINK DENSITY ของสารไวป์กิริยา CC1 <sub>4</sub> และ Polythiol III.....	120
ก.13 แสดงผลของปริมาณรังสีต่อ Tb ของสารไวป์กิริยา 2EHA ขนาด 9, 6 และ 3 phr.....	121
ก.14 แสดงผลของปริมาณรังสีต่อค่า Crosslink ของสารไวป์กิริยา 2EHA ขนาด 9,6 และ 3 phr.....	121
ก.15 แสดงผลของปริมาณรังสีต่อค่า Swelling ของสารไวป์กิริยา 2EHA ขนาด 9,6 และ 3 phr.....	121
ก.16 แสดงผลของปริมาณรังสีต่อค่า Tb ของสารไวป์กิริยา 2EHA : CC1 <sub>4</sub> ขนาด 6:1, 6:1.5 และ 6:2 phr.....	121
ก.17 แสดงผลของปริมาณรังสีต่อค่า Crosslink ของสารไวป์กิริยา 2EHA : CC1 <sub>4</sub> ขนาด 6:1, 6:15 และ 6:2 phr.....	122
ก.18 แสดงผลของปริมาณรังสีต่อค่า Swelling ของสารไวป์กิริยา 2EHA : CC1 <sub>4</sub> ขนาด 6:1, 6:1.5 และ 6:2 phr.....	122
ก.19 แสดงผลของปริมาณรังสีต่อค่า S.T. ของสารไวป์กิริยา 2EHA : CC1 <sub>4</sub> ขนาด 5:0.5, 5:1.5 และ 5:1 phr.....	122
ก.20 แสดงผลของปริมาณรังสีต่อ Eb ของสารไวป์กิริยา 2EHA : CC1 <sub>4</sub> ขนาด 5:0.5, 5:1 และ 5:1.5 phr.....	122
ก.21 แสดงผลของปริมาณรังสีต่อค่า M.O.600% ของสารไวป์กิริยา 2EHA : CC1 <sub>4</sub> ขนาด 5:0.5, 5:1 และ 5:1.5 phr.....	123
ก.22 แสดงผลของปริมาณรังสีต่อค่า Swelling ของสารไวป์กิริยา 2EHA : CC1 <sub>4</sub> ขนาด 5:0.5, 5:1 และ 5:1.5 phr.....	123

สารบัญตาราง (ต่อ)

ตารางที่	หน้า
ก.23 แสดงผลของปริมาณรังสีต่อค่า Crosslink ของสารไวปฏิกิริยา 2EHA : CCl <sub>4</sub> ขนาด 5:0.5, 5:1 และ 5:1.5 phr.....	123
ก.24 แสดงผลของปริมาณรังสีและ Tb จากผลของ H <sub>2</sub> O <sub>2</sub> ในสารไวปฏิกิริยา Polythiol I.....	124
ก.25 แสดงผลของปริมาณรังสีและ Tb จากผลของ H <sub>2</sub> O <sub>2</sub> ในสารไวปฏิกิริยา Polythiol II.....	124
ก.26 แสดงผลของปริมาณรังสีและ Tb จากผลของ H <sub>2</sub> O <sub>2</sub> ในสารไวปฏิกิริยา Polythiol III.....	124
ก.27 แสดงผลของปริมาณรังสีและ Tb จากผลของ H <sub>2</sub> O <sub>2</sub> ในสารไวปฏิกิริยา CCl <sub>4</sub> .....	124
ก.28 แสดงผลของปริมาณรังสีและ Tb จากผลของ H <sub>2</sub> O <sub>2</sub> ในสารไวปฏิกิริยา 2EHA : CCl <sub>4</sub> .....	125
ก.29 แสดงผลของปริมาณรังสีและ Eb จากผลของ H <sub>2</sub> O <sub>2</sub> ในสารไวปฏิกิริยา 2EHA : CCl <sub>4</sub> .....	125
ก.30 แสดงผลของปริมาณรังสีและ M.O. จากผลของ H <sub>2</sub> O <sub>2</sub> ในสารไวปฏิกิริยา 2EHA : CCl <sub>4</sub> .....	125

**ศูนย์วิทยทรัพยากร  
จุฬาลงกรณ์มหาวิทยาลัย**

## สารบัญภาพ

รูปที่	หน้า
2.1 รูปแสดงการคุ้งกลืนพลังงานของแสง UV และรังสีอัลฟ่า.....	9
2.2 รูปแสดงการกระเจยของอิอ่อนและโมเลกุลที่อยู่ในสถานะเร้าใน เส้นทางของอิเลคตรอนความเร็วสูง.....	9
2.3 รูปแสดงพลังงานศักย์ของโมเลกุลที่มีอิอ่อนคุ้นในสภาพปกติและ สภาวะเร้า.....	10
2.4 รูปแสดงการเกิด Intersystem Crossing จากสถานะ Singlet ไปยัง Triplet ในสภาวะเร้า.....	11
2.5 รูปแสดงการกระเจยและ Spin ของ อิเลคตรอนในสภาวะต่าง ๆ.....	11
2.6 รูปแสดงขั้นตอนต่าง ๆ ในการเกิด Polymerization จากรังสี.....	15
2.7 รูปแสดงอัตราของปฏิกิริยา Polymerization เทียบกับ dose rate ที่ 20 °C.....	17
2.8 รูปแสดงอัตราของปฏิกิริยาทางทฤษฎีเทียบกับเศษส่วนโมล.....	18
2.9 รูปแสดงการเปลี่ยนแปลงของ Acrylonitriles เวลาที่ถูกรังสีที่ dose rate ต่าง ๆ.....	19
2.10 รูปแสดงน้ำหนักโมเลกุลเฉลี่ยที่เพิ่มขึ้นกับ dose ที่เพิ่มขึ้น.....	21
3.1 รูปแสดงภาพตัดขวางของเครื่องปั่นน้ำยางขึ้น.....	24
3.2 รูปแสดงคุณสมบัติทางกายภาพต่าง ๆ กับค่า crosslink density... 33	33
3.3 รูปแสดงโครงข่ายแบบต่าง ๆ ของ crosslink.....	33
3.4 รูปแสดงลำดับขั้นของการเกิดวัลแคนในชี.....	34
3.5 รูปแสดงการวัลแคนในชีที่มีตัวเร่งเข้าร่วมปฏิกิริยา.....	35
4.1 รูปรวมเครื่องฉายรังสีของ บ. แกรมมาทรอน จ.ก.....	43
4.2 รูปแสดงทิศทางการเคลื่อนที่เข้าฉายรังสี.....	44
4.3 รูปแสดงแท่งตันกำเนิดรังสีของเครื่องฉายรังสี.....	45
4.4 รูปแสดงตำแหน่งการวางน้ำยางเพื่อฉายรังสี.....	46
4.5 รูปแสดงต้านบนตำแหน่งวางขวดเป็นวงกลมรอบแท่งกำเนิดรังสี.....	46

สารบัญภาพ(ต่อ)

รูปที่	หน้า
4.6 รูปแสดงตู้ควบคุมต้นกำเนิดรังสี.....	46
4.7 รูปแสดงตำแหน่งต้นกำเนิดรังสีภายในห้องที่มีผนังกำบังรังสี concrete หนา 1.5 เมตร.....	46
4.8 รูปชุด Sieve ห่อยางหาค่าเฉล.....	47
4.9 รูปเครื่องตัดชิ้นยางและตัวอย่างยางที่ตัดเป็นรูป Dumbell.....	48
4.10 รูปแสดงเครื่องมือกัลล์หาปริมาณเจล.....	48
4.11 รูปแสดงเครื่องทดสอบแรงตึงของ Instron 1026 และเครื่องบันทึกผล.....	49
5.1 แสดงความสัมพันธ์ระหว่างค่าเจลกับ Dose ที่ความเข้มข้นต่าง ๆ ของสารไวนิลกิริยา Polythiol I.....	64
5.2 แสดงความสัมพันธ์ระหว่างค่าเจลกับ Dose ที่ความเข้มข้นต่าง ๆ ของสารไวนิลกิริยา Polythiol II.....	65
5.3 แสดงความสัมพันธ์ระหว่างค่าเจลกับ Dose ที่ความเข้มข้นต่าง ๆ ของสารไวนิลกิริยา Polythiol III.....	66
5.4 แสดงความสัมพันธ์ระหว่างค่าเจลกับ Dose ที่ความเข้มข้นต่าง ๆ ของสารไวนิลกิริยา CC <sub>14</sub> .....	67
5.5 แสดงความสัมพันธ์ระหว่างค่าเจลกับ Dose ที่ความเข้มข้นต่าง ๆ ของสารไวนิลกิริยาร่วม CC <sub>14</sub> กับ Polythiol I.....	68
5.6 แสดงความสัมพันธ์ระหว่างค่าเจลกับ Dose ที่ความเข้มข้นต่าง ๆ ของสารไวนิลกิริยาร่วม CC <sub>14</sub> กับ Polythiol II.....	69
5.7 แสดงความสัมพันธ์ระหว่างค่าเจลกับ Dose ที่ความเข้มข้นต่าง ๆ ของสารไวนิลกิริยาร่วม CC <sub>14</sub> กับ Polythiol III.....	70
5.8 แสดงความสัมพันธ์ระหว่างค่าเจลกับ Dose ที่ความเข้มข้นต่าง ๆ ของสารไวนิลกิริยา 2EHA:CC <sub>14</sub> .....	71
5.9 แสดงความสัมพันธ์ระหว่าง Tb กับปริมาณรังสีของสารไวนิลกิริยา Polythiol I.....	72

## สารบัญภาพ (ต่อ)

รูปที่		หน้า
	5.10 แสดงความล้มเหลวระหว่าง M.O.600% กับปริมาณรังสีของสารไวปฏิกิริยา Polythiol I.....	72
	5.11 แสดงความล้มเหลวระหว่าง EB กับปริมาณรังสีของสารไวปฏิกิริยา Polythiol I.....	73
	5.12 แสดงความล้มเหลวระหว่าง Swelling กับปริมาณรังสีของสารไวปฏิกิริยา Polythiol I.....	73
	5.13 แสดงความล้มเหลวระหว่างค่า Crosslink กับปริมาณรังสีของสารไวปฏิกิริยา Polythiol I.....	74
	5.14 แสดงความล้มเหลวระหว่าง TB กับปริมาณรังสีของสารไวปฏิกิริยา Polythiol II.....	74
	5.15 แสดงความล้มเหลวระหว่าง M.O.600% กับปริมาณรังสีของสารไวปฏิกิริยา Polythiol II.....	75
	5.16 แสดงความล้มเหลวระหว่าง EB กับปริมาณรังสีของสารไวปฏิกิริยา Polythiol II.....	75
	5.17 แสดงความล้มเหลวระหว่าง Swelling กับปริมาณรังสีของสารไวปฏิกิริยา Polythiol II.....	76
	5.18 แสดงความล้มเหลวระหว่างค่า Crosslink กับปริมาณรังสีของสารไวปฏิกิริยา Polythiol II.....	76
	5.19 แสดงความล้มเหลวระหว่างค่า TB กับปริมาณรังสีของสารไวปฏิกิริยา Polythiol III.....	77
	5.20 แสดงความล้มเหลวระหว่างค่า M.O.600% กับปริมาณรังสีของสารไวปฏิกิริยา Polythiol III.....	77
	5.21 แสดงความล้มเหลวระหว่าง EB กับปริมาณรังสีของสารไวปฏิกิริยา Polythiol III.....	78
	5.22 แสดงความล้มเหลวระหว่าง Swelling กับปริมาณรังสีของสารไวปฏิกิริยา Polythiol III.....	78

สารบัญภาพ (ต่อ)

เรื่องที่	หน้า
5.23 แสดงความสัมพันธ์ระหว่างค่า Crosslink กับปริมาณรังสีของสารไวปฏิกิริยา Polythiol III.....	79
5.24 แสดงความสัมพันธ์ระหว่าง Tb กับปริมาณรังสีของสารไวปฏิกิริยา CC <sub>14</sub> .....	79
5.25 แสดงความสัมพันธ์ระหว่าง M.O.600% กับปริมาณรังสีของสารไวปฏิกิริยา CC <sub>14</sub> .....	80
5.26 แสดงความสัมพันธ์ระหว่าง Eb กับปริมาณรังสีของสารไวปฏิกิริยา CC <sub>14</sub> .....	80
5.27 แสดงความสัมพันธ์ระหว่าง Swelling กับปริมาณรังสีของสารไวปฏิกิริยา CC <sub>14</sub> .....	81
5.28 แสดงความสัมพันธ์ระหว่างค่า Crosslink กับปริมาณรังสีของสารไวปฏิกิริยา CC <sub>14</sub> .....	81
5.29 แสดงความสัมพันธ์ระหว่าง Tb กับปริมาณรังสีของสารไวปฏิกิริยา CC <sub>14</sub> + Polythiol I.....	82
5.30 แสดงความสัมพันธ์ระหว่าง M.O.600% กับปริมาณรังสีของสารไวปฏิกิริยา CC <sub>14</sub> + Polythiol I.....	82
5.31 แสดงความสัมพันธ์ระหว่าง Eb กับปริมาณรังสีของสารไวปฏิกิริยา CC <sub>14</sub> + Polythiol I.....	83
5.32 แสดงความสัมพันธ์ระหว่าง Swelling กับปริมาณรังสีของสารไวปฏิกิริยา CC <sub>14</sub> + Polythiol I.....	83
5.33 แสดงความสัมพันธ์ระหว่างค่า Crosslink กับปริมาณรังสีของสารไวปฏิกิริยา CC <sub>14</sub> + Polythiol I.....	84
5.34 แสดงความสัมพันธ์ระหว่าง Tb กับปริมาณรังสีของสารไวปฏิกิริยา CC <sub>14</sub> + Polythiol II.....	84
5.35 แสดงความสัมพันธ์ระหว่าง M.O.600% กับปริมาณรังสีของสารไวปฏิกิริยา CC <sub>14</sub> + Polythiol II.....	85
5.36 แสดงความสัมพันธ์ระหว่าง Eb กับปริมาณรังสีของสารไวปฏิกิริยา CC <sub>14</sub> + Polythiol II.....	85

## สารบัญภาพ (ต่อ)

รูปที่	หน้า
5.37 แสดงความสัมพันธ์ระหว่าง Swelling กับปริมาณรังสีของสารไวปฏิกิริยา CC1 <sub>4</sub> + Polythiol II.....	86
5.38 แสดงความสัมพันธ์ระหว่างค่า Crosslink กับปริมาณรังสีของสาร ไวปฏิกิริยา CC1 <sub>4</sub> + Polythiol II.....	86
5.39 แสดงความสัมพันธ์ระหว่าง Tb กับปริมาณรังสีของสารไว ปฏิกิริยา CC1 <sub>4</sub> + Polythiol III.....	87
5.40 แสดงความสัมพันธ์ระหว่าง M.O.600% กับปริมาณรังสีของสารไวปฏิกิริยา CC1 <sub>4</sub> + Polythiol III.....	87
5.41 แสดงความสัมพันธ์ระหว่าง Eb กับปริมาณรังสีของสารไวปฏิกิริยา CC1 <sub>4</sub> + Polythiol III.....	88
5.42 แสดงความสัมพันธ์ระหว่าง Swelling กับปริมาณรังสีของสารไวปฏิกิริยา CC1 <sub>4</sub> + Polythiol III.....	88
5.43 แสดงความสัมพันธ์ระหว่างค่า Crosslink กับปริมาณรังสีของสาร ไวปฏิกิริยา CC1 <sub>4</sub> + Polythiol III.....	89
5.44 แสดงความสัมพันธ์ระหว่างค่า Crosslink กับปริมาณรังสีของสาร ไวปฏิกิริยา รูป 5.24, 5.29, 5.34, 5.39.....	89
5.45 แสดงความสัมพันธ์ระหว่าง Swelling กับปริมาณรังสีของสารไวปฏิกิริยา รูปที่ 5.28, 5.33, 5.38, และ 5.43.....	90
5.46 แสดงความสัมพันธ์ระหว่างค่า Crosslink กับปริมาณรังสีของสาร ไวปฏิกิริยา 2EHA 9,6 และ 3 phr.....	90
5.47 แสดงความสัมพันธ์ระหว่างค่า Tb กับปริมาณรังสีของสารไวปฏิกิริยา 2EHA 9,6 และ 3 phr.....	90
5.48 แสดงความสัมพันธ์ระหว่าง Swelling กับปริมาณรังสีของสารไวปฏิกิริยา 2EHA 9,6 และ 3 phr.....	91
5.49 แสดงความสัมพันธ์ระหว่าง Swelling กับปริมาณรังสีของสารไวปฏิกิริยา 2EHA:CC1 <sub>4</sub> 9:0, 6:0, 3:0, 6:1, 6:1.5, 6:2 phr.....	91

สารน้ำยา (ต่อ)

รูปที่	หน้า
5.50 แสดงความสัมพันธ์ระหว่าง TB กับปริมาณรังสีของสารไวปฏิกิริยา 2EHA:CC1 <sub>4</sub> 9:0, 6:0, 3:0, 6:1, 6:1.5, 6:2 phr.....	93
5.51 แสดงความสัมพันธ์ระหว่างค่า Crosslink กับปริมาณรังสีของสารไว ปฏิกิริยา 2EHA:CC1 <sub>4</sub> 9:0, 6:0, 3:0, 6:1, 6:1.5, 6:2 phr.94	
5.52 แสดงความสัมพันธ์ระหว่าง TB กับปริมาณรังสีของสารไวปฏิกิริยา 2EHA:CC1 <sub>4</sub> 6:1, 6:1.5, 6:2 phr.....	95
5.53 แสดงความสัมพันธ์ระหว่างค่า Crosslink กับปริมาณรังสีของสารไว ปฏิกิริยา 2EHA:CC1 <sub>4</sub> 6:1, 6:1.5, 6:2 phr.....	95
5.54 แสดงความสัมพันธ์ระหว่าง Swelling กับปริมาณรังสีของสารไวปฏิกิริยา 2EHA:CC1 <sub>4</sub> 6:1, 6:1.5, 6:2 phr.....	96
5.55 แสดงความสัมพันธ์ระหว่าง TB กับปริมาณรังสีของสารไวปฏิกิริยา 2EHA:CC1 <sub>4</sub> 5:0.5, 5:1, 5:1.5 phr.....	96
5.56 แสดงความสัมพันธ์ระหว่าง EB กับปริมาณรังสีของสารไวปฏิกิริยา 2EHA:CC1 <sub>4</sub> 5:0.5, 5:1, 5:1.5 phr.....	97
5.57 แสดงความสัมพันธ์ระหว่าง M.O.600% กับปริมาณรังสีของสารไวปฏิกิริยา 2EHA:CC1 <sub>4</sub> 5:0.5, 5:1, 5:1.5 phr.....	97
5.58 แสดงความสัมพันธ์ระหว่างค่า Crosslink กับปริมาณรังสีของสาร ไวปฏิกิริยา 2EHA:CC1 <sub>4</sub> 5:0.5, 5:1, 5:1.5 phr.....	98
5.59 แสดงความสัมพันธ์ระหว่างค่า Swelling กับปริมาณรังสีของสาร ไวปฏิกิริยา 2EHA:CC1 <sub>4</sub> 5:0.5, 5:1, 5:1.5 phr.....	98
5.60 แสดงความสัมพันธ์ระหว่าง TB กับปริมาณรังสีของสารไวปฏิกิริยา Polythiol II และ H <sub>2</sub> O <sub>2</sub> .....	99
5.61 แสดงความสัมพันธ์ระหว่าง TB กับปริมาณรังสีของสารไวปฏิกิริยา Polythiol I และ H <sub>2</sub> O <sub>2</sub> .....	99
5.62 แสดงความสัมพันธ์ระหว่าง TB กับปริมาณรังสีของสารไวปฏิกิริยา Polythiol III และ H <sub>2</sub> O <sub>2</sub> .....	100

สารบัญภาพ (ต่อ)

รูปที่	หน้า
5.63 ลดความล้มเหลวระหว่าง TB กับปริมาณรังสีของสารไวปฏิกิริยา CCl <sub>4</sub> และ H <sub>2</sub> O <sub>2</sub> .....	100
5.64 ลดความล้มเหลวระหว่าง TB กับปริมาณรังสีของสารไวปฏิกิริยา 2EHA:CCl <sub>4</sub> และ H <sub>2</sub> O <sub>2</sub> .....	101
5.65 ลดความล้มเหลวระหว่าง EB กับปริมาณรังสีของสารไวปฏิกิริยา 2EHA:CCl <sub>4</sub> และ H <sub>2</sub> O <sub>2</sub> .....	101
5.66 ลดความล้มเหลวระหว่าง M.O.600% กับปริมาณรังสีของสาร ไวปฏิกิริยา 2EHA:CCl <sub>4</sub> และ H <sub>2</sub> O <sub>2</sub> .....	102

**ศูนย์วิทยทรัพยากร**  
**จุฬาลงกรณ์มหาวิทยาลัย**